

$$(3.7) \quad \alpha_1^2 + \alpha_2^2 + \dots + \alpha_m^2 \leq \varepsilon$$

と表わせる。これは半径 $\sqrt{\varepsilon}$ の m 次元円板 D^m の外側の部分である。 $M_{C_i-\varepsilon}$ の境界 $\partial M_{C_i-\varepsilon}$ はこの半径 $\sqrt{\varepsilon}$ の m 次元円板の境界 S^{m-1} になっている。

t が $C_i-\varepsilon$ から増えている、 C_i を通過した瞬間に $M_{C_i-\varepsilon}$ の境界はこの m 次元円板でふたをされて、境界のないコンパクト m 次元多様体が完成する。 f の値は円板の中心で最大値をとり、円板の境界に近づくにつれ減少していくのだから、ここに張りつく m 次元円板は「下向き」の m 次元円板である。この m 次元円板のことを、 m -ハンドル (m -handle), 正確には、 m 次元の m -ハンドルという。一般に、 t が指数 m の臨界値 C_i を通過するたびに、その直前の $M_{C_i-\varepsilon}$ の境界の連結成分になっている $m-1$ 次元球面 S^{m-1} が、 m -ハンドルでふたをされる。

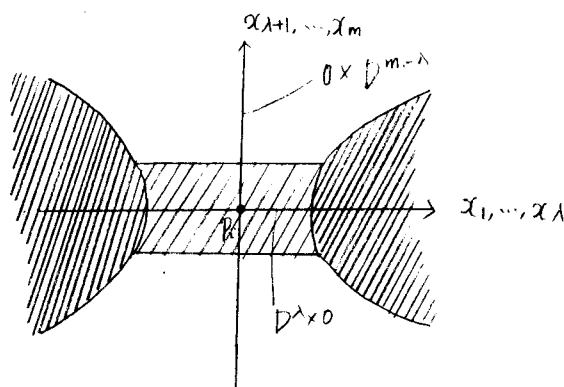


図 3.2 λ -ハンドル

以上で指数 0 と m の臨界点のまわりの様子がわかった。つぎに、一般の指数 λ ($0 < \lambda < m$) をもつ臨界点 p_i について、対応する臨界値 C_i の前後の M_t の変化を考えよう。

指数 λ の臨界点 p_i のまわりの適当な局所座標系によって、 f を標準形で表しておく：

$$(3.8) \quad f = -x_1^2 - \dots - x_\lambda^2 + x_{\lambda+1}^2 + \dots + x_m^2 + c_i.$$

図 3.2 は p_i のまわりの様子であるが、ここで、標準形 (3.8) の右辺を $\leq C_i - \varepsilon$ とおいて $M_{C_i-\varepsilon}$ を求めると、

$$(3.9) \quad \alpha_1^2 + \dots + \alpha_\lambda^2 - \alpha_{\lambda+1}^2 - \dots - \alpha_m^2 \leq \varepsilon$$

で表される部分、すなわち、図 3.2 の濃い影をつけた部分である。同じ図のなかで、うすく影をつけた部分は、式で書けば、

$$(3.10) \quad \begin{cases} \alpha_1^2 + \dots + \alpha_\lambda^2 - \alpha_{\lambda+1}^2 - \dots - \alpha_m^2 \leq \varepsilon & \text{かつ} \\ \alpha_{\lambda+1}^2 + \dots + \alpha_m^2 \leq \delta \end{cases}$$

であるが、(ただし、 δ は ε に較べてずっと小さい正数)、この部分が λ 次元円板と $(m-\lambda)$